

单 N 沟道 MOSFET

ELM4N6008FCA-S

<https://www.elm-tech.com>

■概要

ELM4N6008FCA-S 是 N 沟道低输入电容，低工作电压，低导通电阻的大电流 MOSFET。

■特点

- $V_{ds}=60V$
- $I_d=2.3A (V_{gs}=10V)$
- $R_{ds(on)} = 100m\Omega (V_{gs}=10V)$
- $R_{ds(on)} = 110m\Omega (V_{gs}=4.5V)$

■绝对最大额定值

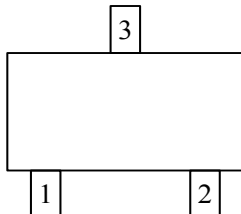
| 项目 | 记号 | 规格范围 | 单位 | 备注 |
|----------------------------|-------------------|-----------|-----------------|----|
| 漏极 - 源极电压 | V_{ds} | 60 | V | |
| 栅极 - 源极电压 | V_{gs} | ± 20 | V | |
| 漏极电流 (定常) ($V_{gs}=10V$) | $T_a=25^{\circ}C$ | 2.3 | A | 1 |
| | $T_a=70^{\circ}C$ | 1.8 | | |
| 脉冲漏极电流 | I_{dm} | 9.2 | A | 2 |
| 容许功耗 | $T_a=25^{\circ}C$ | Pd | 1 | W |
| 保存温度范围 | | T_{stg} | $-55 \sim +150$ | °C |
| 接合部温度范围 | | T_j | $-55 \sim +150$ | °C |

■热特性

| 项目 | 记号 | 典型值 | 最大值 | 单位 | 备注 |
|-------------|-----------------|-----|-----|------|----|
| 接合部 - 环境热阻 | $R_{\theta ja}$ | - | 125 | °C/W | 1 |
| 接合部 - 外封装热阻 | $R_{\theta jc}$ | - | 80 | °C/W | 1 |

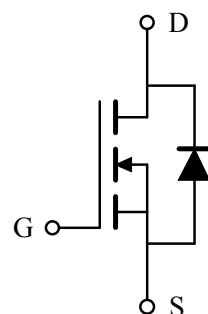
■引脚配置图

SOT-23(俯视图)



| 引脚编号 | 引脚名称 |
|------|--------|
| 1 | GATE |
| 2 | SOURCE |
| 3 | DRAIN |

■电路图



单 N 沟道 MOSFET

ELM4N6008FCA-S

<https://www.elm-tech.com>

■电特性

如没有特别注明时, $T_j=25^\circ\text{C}$

| 项目 | 记号 | 条件 | 最小值 | 典型值 | 最大值 | 单位 | 备注 |
|--------------------------------|--------------------------------------|--|-----|-------|-----------|----------------------------|------|
| 静态特性 | | | | | | | |
| 漏极 – 源极击穿电压 | BVdss | $V_{gs}=0\text{V}, I_d=250\mu\text{A}$ | 60 | - | - | V | |
| BVdss 温度系数 | $\frac{\Delta BV_{dss}}{\Delta T_j}$ | 参考温度为 25°C , $I_d=1\text{mA}$ | - | 0.054 | - | V/ $^\circ\text{C}$ | |
| 漏极 – 源极导通电阻 | Rds(on) | $V_{gs}=10\text{V}, I_d=2\text{A}$ | - | 80 | 100 | $\text{m}\Omega$ | 2 |
| | | $V_{gs}=4.5\text{V}, I_d=1\text{A}$ | - | 85 | 110 | | |
| 栅极阈值电压 | $V_{gs(\text{th})}$ | $V_{gs}=V_{ds}, I_d=250\mu\text{A}$ | 1.2 | - | 2.5 | V | |
| $V_{gs(\text{th})}$ 温度系数 | $\Delta V_{gs(\text{th})}$ | | - | -4.96 | - | $\text{mV}/^\circ\text{C}$ | |
| 漏极 – 源极漏电流 | Idss | $V_{ds}=48\text{V}, V_{gs}=0\text{V}$ | - | - | 1 | μA | |
| | | $V_{ds}=48\text{V}, V_{gs}=0\text{V}, T_j=55^\circ\text{C}$ | - | - | 5 | | |
| 栅极 – 源极漏电流 | Igss | $V_{gs}=\pm 20\text{V}, V_{ds}=0\text{V}$ | - | - | ± 100 | nA | |
| 正向跨导 | Gfs | $V_{ds}=5\text{V}, I_d=2\text{A}$ | - | 13 | - | S | |
| 连续源电流 | Is | $V_{gs}=V_{ds}=0\text{V}$, Force current | - | - | 2.3 | A | 1, 4 |
| 脉冲源电流 | Ism | | - | - | 9.2 | A | 2, 4 |
| 二极管正向压降 | Vsd | $V_{gs}=0\text{V}, I_s=1\text{A}$ | - | - | 1.2 | V | 2 |
| 动态特性 | | | | | | | |
| 输入电容 | Ciss | $V_{ds}=15\text{V}, V_{gs}=0\text{V}, f=1\text{MHz}$ | - | 511 | 715 | pF | |
| 输出电容 | Coss | | - | 38 | 53 | pF | |
| 反馈电容 | Crss | | - | 25 | 35 | pF | |
| 开关特性 | | | | | | | |
| 总栅极电荷 ($V_{gs}=4.5\text{V}$) | Qg | $V_{ds}=48\text{V}, V_{gs}=4.5\text{V}, I_d=2\text{A}$ | - | 5.00 | 7.00 | nC | |
| 栅极 – 源极电荷 | Qgs | | - | 1.68 | 2.40 | nC | |
| 栅极 – 漏极电荷 | Qgd | | - | 1.90 | 2.70 | nC | |
| 导通延迟时间 | td(on) | $V_{ds}=30\text{V}, V_{gs}=10\text{V}$ $R_{gen}=3.3\Omega, I_d=2\text{A}$ | - | 1.6 | 3.2 | ns | |
| 导通上升时间 | tr | | - | 7.2 | 13.0 | ns | |
| 关闭延迟时间 | td(off) | | - | 25.0 | 50.0 | ns | |
| 关闭下降时间 | tf | | - | 14.4 | 28.8 | ns | |
| 寄生二极管反向恢复时间 | trr | $I_f=2\text{A}, di/dt=100\text{A}/\mu\text{s}$ | - | 9.7 | - | nS | |
| 寄生二极管反向恢复电荷 | Qrr | | - | 5.8 | - | nC | |

备注:

- 安装在 $70\mu\text{m}$ 厚铜箔的 1 平方英寸 FR-4 上时的值;
- 脉冲测试: 脉冲宽度 $\leq 300\mu\text{s}$ 和占空比 $\leq 2\%$;
- 功耗受 150°C 结合部温度限制;
- 在理论上数据是与 I_d 和 I_{dm} 相同的, 而在实际应用中是受到总功率损耗限制的。

单 N 沟道 MOSFET

ELM4N6008FCA-S

<https://www.elm-tech.com>

■ 标准特性和热特性曲线

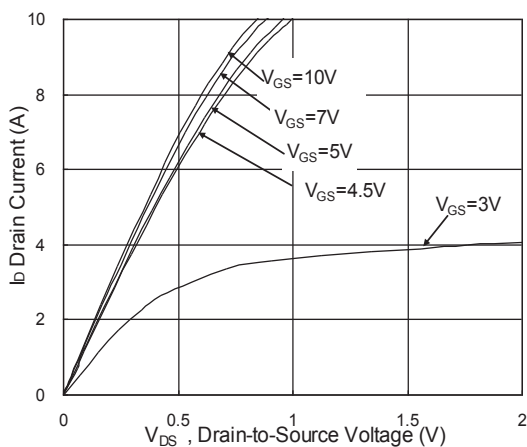


Fig.1 Typical Output Characteristics

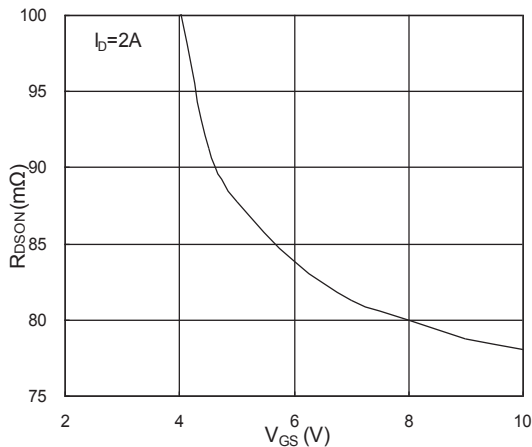


Fig.2 On-Resistance v.s Gate-Source

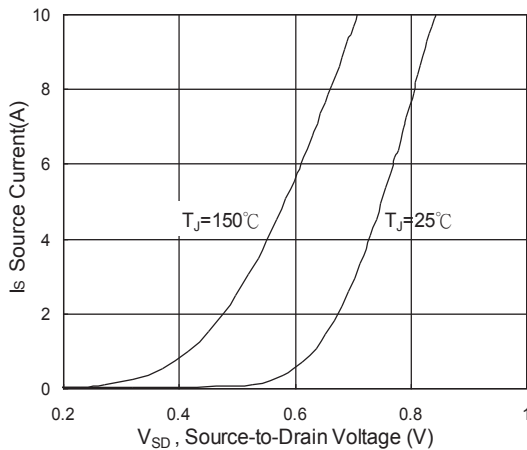


Fig.3 Forward Characteristics of Reverse

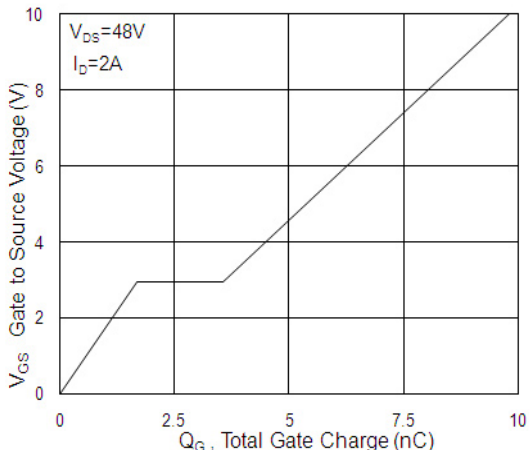


Fig.4 Gate-Charge Characteristics

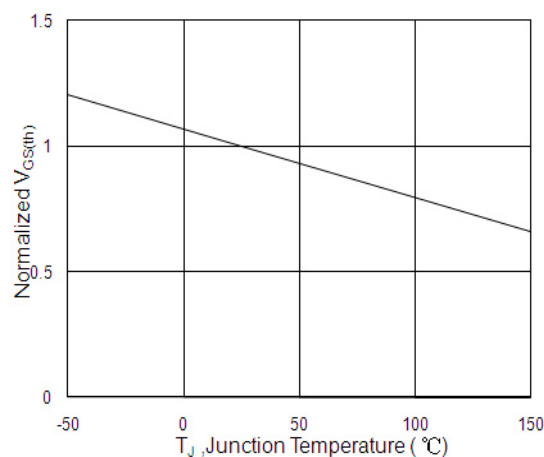


Fig.5 Normalized V_{GS(th)} v.s T_J

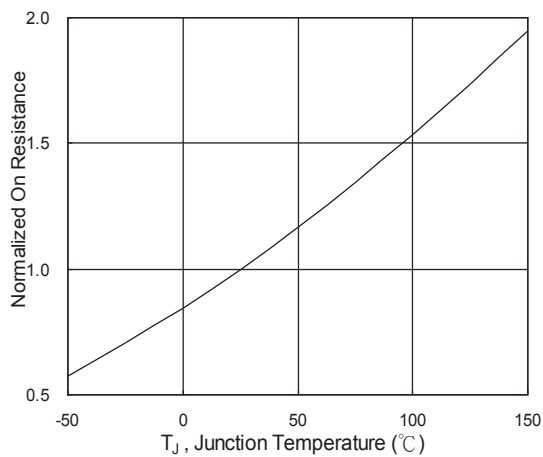


Fig.6 Normalized R_{DSON} v.s T_J

单 N 沟道 MOSFET

ELM4N6008FCA-S

<https://www.elm-tech.com>

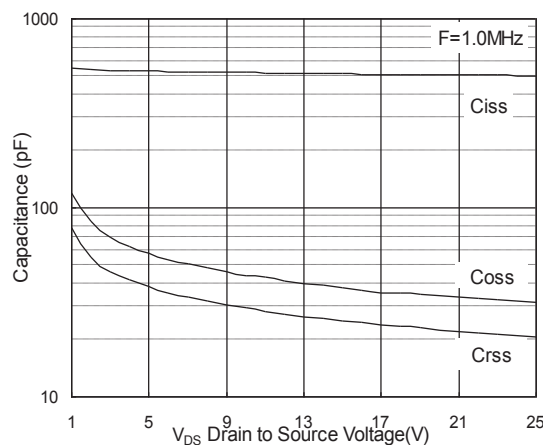


Fig.7 Capacitance

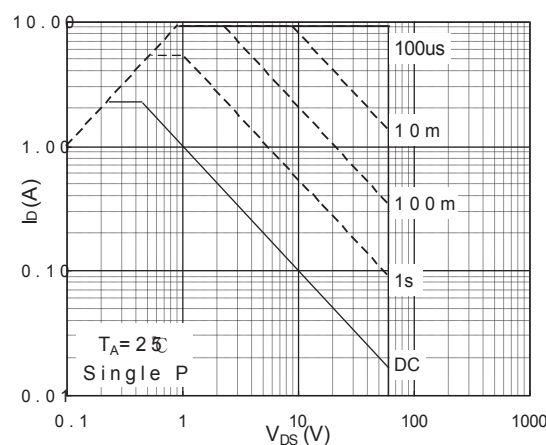


Fig.8 Safe Operating Area

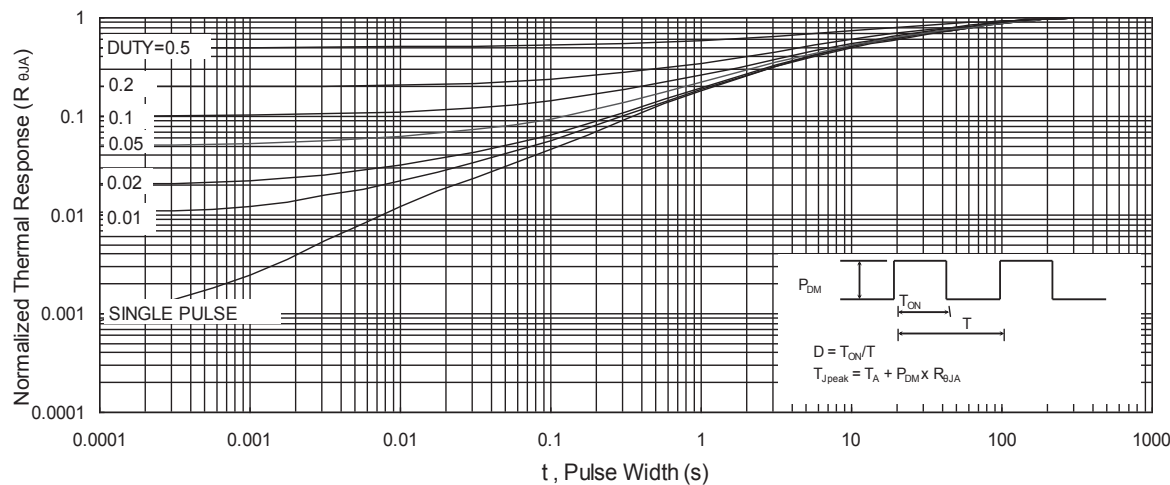


Fig.9 Normalized Maximum Transient Thermal Impedance

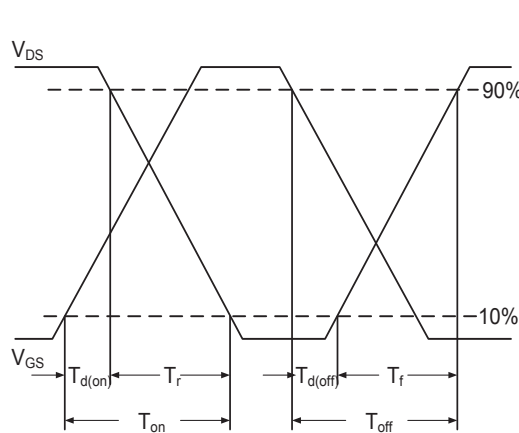


Fig.10 Switching Time Waveform

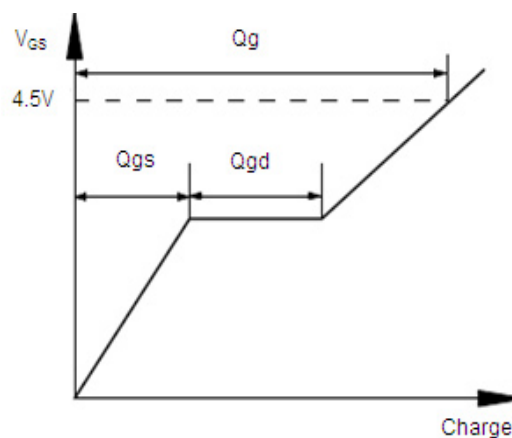


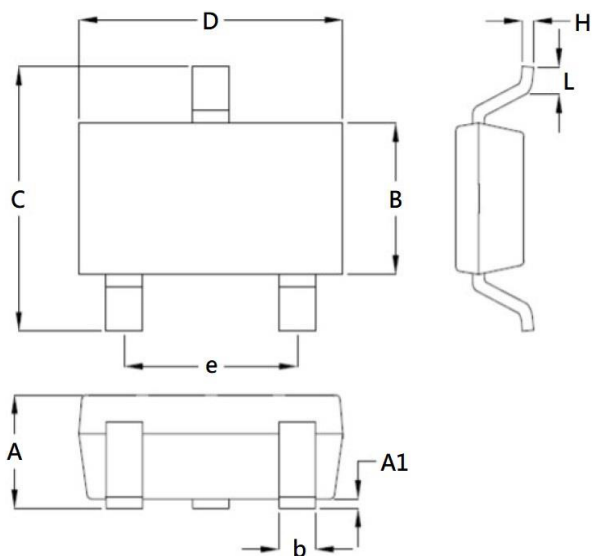
Fig.11 Gate Charge Waveform

单 N 沟道 MOSFET

ELM4N6008FCA-S

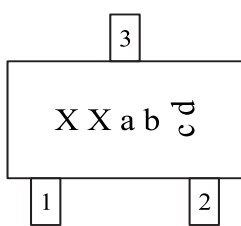
<https://www.elm-tech.com>

■SOT-23 外形尺寸 (3,000 颗 / 卷)



| 记号 | Millimeters | | Inches | |
|----|-------------|-------|--------|-------|
| | Min. | Max. | Min. | Max. |
| A | 0.850 | 1.295 | 0.033 | 0.051 |
| A1 | 0.000 | 0.152 | 0.000 | 0.006 |
| B | 1.397 | 1.803 | 0.055 | 0.071 |
| b | 0.300 | 0.508 | 0.012 | 0.020 |
| C | 2.591 | 3.010 | 0.102 | 0.119 |
| D | 2.692 | 3.100 | 0.106 | 0.122 |
| e | 1.900 | | 0.075 | |
| H | 0.080 | 0.254 | 0.003 | 0.010 |
| L | 0.300 | 0.610 | 0.012 | 0.024 |

■封装印字说明



| 记号 | 表示内容 |
|----|--|
| XX | XX: 产品型号代码 |
| a | 年份代码: 2019=9, 2020=A, 2021=B, 2022=C ... |
| b | 週代码: A ~ Z, a ~ z 计 53 週 |
| c | 批号: 1 ~ 9 或 A ~ Z |
| d | 生产代码: A ~ Z (I, O 除外) |